

УДК 539.377 : 620.178.7 : 678

ПЛАСТИЧНОСТЬ ТВЕРДЫХ ПОЛИМЕРОВ ПРИ ДИНАМИЧЕСКОМ НАГРУЖЕНИИ

Э. Н. Беллендир, А. С. Власов, Н. А. Перецов

Проведено экспериментальное и теоретическое исследование сопротивления твердых аморфных и аморфно-кристаллических полимеров высокоскоростному деформированию (при скорости деформирования около 10^3 с^{-1}). Методом ударного нагружения длинных стержней изучено распространение импульсов напряжений в полимерных материалах и оценены их динамические пределы текучести. Разработана новая физическая модель начальной стадии процесса пластической деформации аморфных полимеров, которая связывает пластичность с образованием дислокаций Сомилианы в материале. С помощью модели вычислены теоретические значения динамических пределов текучести шести полимеров. Проведено сопоставление теоретических и экспериментальных результатов, которое показало их удовлетворительное согласие.

Введение

Широкое применение полимеров и композиционных материалов на их основе в качестве элементов конструкций, функционирующих в условиях импульсных воздействий, требует детальных знаний о механическом поведении этих материалов при динамическом (ударном) нагружении. В то же время процессы высокоскоростного деформирования полимеров изучены слабо по сравнению с традиционными материалами — металлами, для которых выполнено большое число экспериментальных и теоретических исследований динамической пластичности [1–3]. В частности, не анализировалась возможность описания поведения твердых полимеров при динамическом нагружении с помощью имеющихся в литературе физических моделей деформирования этих материалов.

В связи с этим целью настоящей работы явилось получение экспериментальных данных о динамических пределах текучести широкого круга твердых аморфных и аморфно-кристаллических полимеров и их теоретический анализ с позиций физической теории пластичности.

Постановка динамических экспериментов, обеспечивающих надежную информацию о свойствах полимеров, до сих пор остается самостоятельной сложной проблемой. Не существует какого-либо единого метода, позволяющего определять динамические механические характеристики (например, динамические диаграммы деформирования) в достаточно широком интервале скоростей деформации $\dot{\gamma}$. Для области $\dot{\gamma} \sim 10^3 \text{ с}^{-1}$ наибольшее распространение приобрел метод разрезного стержня Гопкинсона [4–6], в котором система из двух упругих стержней, разделенных образцом в виде тонкой прокладки, нагружается импульсом напряжения длительностью порядка 10^{-4} с . Экспериментальный и теоретический анализ предположений, лежащих в основе этой методики, показывает, что она дает надежные результаты при $\dot{\gamma} \leqslant 10^4 \text{ с}^{-1}$.

Более высокие скорости деформирования реализуются в экспериментах по распространению ударных волн. В последние годы достигнуты определенные успехи в разработке ударно-волновых методов, позволяющих исследовать процесс пластической деформации полимеров при $\dot{\gamma}$ выше 10^5 с^{-1} [7–10]. Однако получаемые с их помощью данные носят пока эпизодический характер, а интерпретация результатов затруднена сильным влиянием на текучесть эффектов

Исходя из вышесказанного, в данной работе мы ограничились изучением пластичности полимеров при скоростях деформирования порядка 10^3 с^{-1} . Из динамических диаграмм деформирования, полученных в работах [4–6] с помощью методики разрезного стержня Гопкинсона (сжимающий и крутильный варианты), были взяты значения пределов текучести поликарбоната (ПК), полиэтилена высокой плотности (ПЭВП) и политетрафторэтилена (ПТФЭ). Кроме того, методом ударного нагружения длинных стержней (раздел 1) были определены динамические характеристики полиметилметакрилата (ПММА), полистирола (ПС) и полиамида-6 (ПА-6). Для теоретического описания случая высокоскоростного деформирования разработана новая дислокационно-дисклинационная модель первой стадии процесса пластической деформации твердых аморфных полимеров (раздел 2). На основе модели выполнен анализ экспериментальных данных о пределах текучести исследованных материалов (раздел 3).

1. Постановка и результаты эксперимента

Определение предела текучести ПММА, ПС, ПА-6 в условиях деформирования со скоростью $\sim 10^3 \text{ с}^{-1}$ осуществлялось методом динамического нагружения длинных стержней круглого сечения. Ударом по одному из торцов стержня в образце возбуждался импульс напряжений. Ударник, изготовленный из того же материала, что и образец, разгонялся до определенной скорости V_0 на пневматической баллистической установке [13]. В зависимости от величины V_0 вдоль образца распространялась упругая или упруго-пластическая волна деформаций сжатия определенной длительности и формы. В том случае, когда максимальные напряжения в импульсе превышали предел упругости материала, пластическая часть волны деформаций уже на длине пробега λ порядка диаметра образца D затухала [14]. Кроме того, при достаточной длине стержня и $\lambda = (8 \div 10)D$ напряженное состояние становилось одноосным [15]. Во всех проведенных опытах длина L_0 образца ($L_0 = 150 \div 200 \text{ мм}$) была больше $10 \div 15 D$ ($D = 12 \text{ мм}$). Расчет параметров импульса напряжений (амплитудные значения и профиль изменения во времени) осуществлялся по изменению скорости движения свободного торца стержня при отражении от него падающей волны сжатия [13, 16]. Регистрация профиля скорости свободного торца производилась лазерным дифференциальным интерферометром [13, 17]. Характерный вид изменения нормальных напряжений σ в импульсе от времени t представлен на рис. 1.

Для каждого выбранного полимера была проведена серия опытов. Путем постепенного увеличения скорости ударника V_0 последовательно повышалась интенсивность возбуждаемых на нагружаемом торце образца напряжений. Строилась зависимость амплитудных значений σ_m нормальных напряжений в импульсе, выпущенном на свободный торец, от скорости V_0 (рис. 2). Как видно из рис. 2, при малых скоростях удара наблюдалась линейная зависимость $\sigma_m - V_0$. Это указывало на то, что в данной области удар приводит к чисто упругому деформированию образца. При больших скоростях удара на нагружае-

Материал	$a, \text{ \AA}$	$l, \text{ \AA}$	$h, \text{ \AA}$	$b_{\text{эксп}}, \text{ \AA}$	$b_c, \text{ \AA}$	$\dot{\gamma}, \text{ с}^{-1}$	$G, \text{ ГПа}$	$\tau_{\text{эксп}}^*, \text{ ГПа}$	$\tau_{\text{теор}}^*, \text{ ГПа}$	$\frac{\tau_{\text{теор}}^*}{G} \Big _{\dot{\gamma} \rightarrow \infty}$
ПММА	8.7	2.5	3.75	2.65	2.9	$3 \cdot 10^3$	2.15	0.113	0.135	0.164
ПС	9.3	2.5	3.93	2.8	3.05	$3 \cdot 10^3$	1.32	0.053	0.076	0.165
ПК	6.1	6.1	4.1	3.3	3.75	10^3	1.00	0.06	0.063	0.187
ПА-6	4.9	3.2	2.7	2.1	2.1	$0.75 \cdot 10^3$	1.65	0.078	0.070	0.180
ПЭВП	4.8	2.5	2.4	2.05	2.1	$5 \cdot 10^3$	1.00	0.028	0.033	0.196
ПТФЭ	5.9	2.5	2.8	—	2.3	10^3	0.50	0.013	0.014	0.190

Примечание. При расчете напряжения течения для ПТФЭ использована величина вектора Бюргерса b_c , полученная из корреляционной формулы.

мом торце возникали упруго-пластические деформации и зависимость σ_m — V_0 становилась нелинейной. Как указывалось выше, пластическая составляющая деформации быстро затухала и не достигала свободного торца образца. Поэтому напряжения σ_m при V_0 больше некоторого значения V_k становились постоянными и не превышали предел упругости данного полимера. Предельное значение нормальных напряжений с учетом поправки на линейное затухание волны деформаций по мере ее распространения вдоль образца принималось равным пределу упругости σ^* полимера в условиях динамического нагружения. Линейное затухание в стержне связано с дисперсией импульса и рассеянием его энергии на неоднородностях состава материала. В работе было определено влияние этих факторов на форму импульса. Сравнивались между собой амплитудно-временные параметры волны напряжений, вышедшей на свободный торец стержня непосредственно после нагружения, и этой же волны, возвратившейся

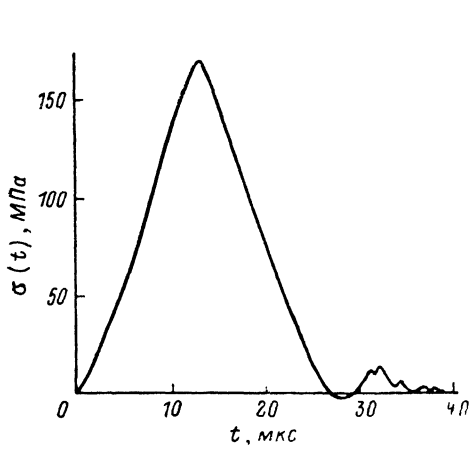


Рис. 1. Напряжения в волне упругих деформаций, распространяющейся по стержню при динамическом нагружении.

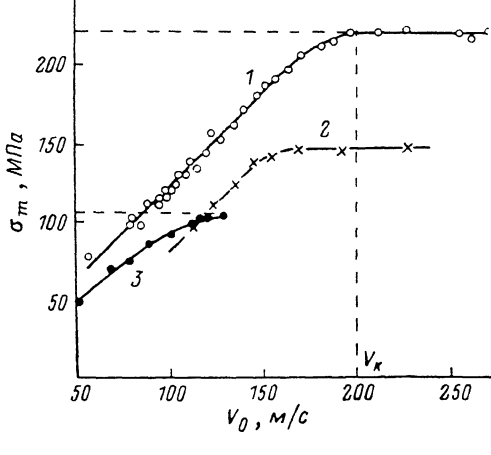


Рис. 2. Зависимость максимальных напряжений в волне деформаций от скорости удара для ПММА (1), ПА-6 (2) и ПС (3).

к свободному торцу после двойного пробега по длине образца. Выполненные измерения показали, что в ПММА и ПС затухание составляет ≈ 0.35 МПА/см, а в ПА-6 — 0.6 МПА/см.

Так как нарастание напряжений на переднем фронте импульса хорошо аппроксимируется линейной зависимостью (рис. 1), значения скорости деформации $\dot{\epsilon}$ рассчитывались по формуле $\dot{\epsilon} = \sigma_m / \rho v^2 \Delta t$, где σ_m — амплитуда нормальных напряжений в импульсе, ρ — плотность полимера, v — скорость распространения упругих продольных волн в материале, Δt — время нарастания напряжений от нуля до σ_m . Полученные экспериментальные значения пределов упругости принимались в качестве оценки пределов текучести материалов и были пересчитаны на сдвиговые характеристики τ^* по критерию максимальных касательных напряжений: $\tau^* = \sigma_m / 2$, $\gamma = 3\dot{\epsilon}/2$, где τ^* — предел текучести на сдвиг, γ — сдвиговая деформация. Значения τ^* и γ для исследованных полимеров совместно с литературными данными для ПК, ПЭВП, ПТФЭ приведены в таблице.

Следует отметить, что принятая оценка может лишь занижать величину предела текучести. Ее точность зависит от формы динамической диаграммы деформирования. Анализ, проведенный в предположении подобия динамических и статических диаграмм деформирования, показал, что погрешность для ПА-6 не превышает нескольких процентов, а для ПММА и ПС — 20 %. Для ПС значение τ^* дополнительно занижено из-за того, что по методическим причинам не удалось построить горизонтальный участок кривой σ_m — V_0 .

2. Теория

Наиболее перспективным для описания пластичности твердых аморфных полимеров является, по нашему мнению, подход, который связывает механизм деформирования с движением дефектов, аналогичных дислокациям в кристаллах. В аморфных телах носителями пластической деформации служат планарные дефекты — дислокации Сомилианы [18]. Поверхность такого дефекта — это поверхность скольжения S , вдоль которой при деформировании осуществляется пластический сдвиг одной части тела относительно другой. В силу неупорядоченности атомного строения вектор пластического смещения $\mathbf{b}(\mathbf{r})$ не может оставаться постоянным на S [19]. Он флюкутирует по величине и направлению ($\mathbf{b}(\mathbf{r}) = \langle \mathbf{b} \rangle + \beta(\mathbf{r})$) вокруг среднего значения $\langle \mathbf{b} \rangle$, зависящего от средних расстояний между соседними минимумами потенциального рельефа межатомного взаимодействия на поверхности S . Сама же поверхность скольжения ока-

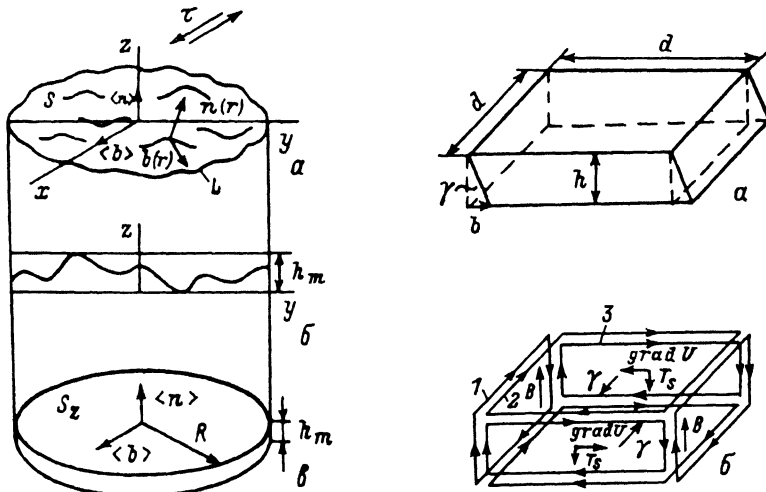


Рис. 3. Дислокация Сомigliаны в аморфном полимере.

a — схематическое изображение волнистой поверхности дефекта S (поверхности скольжения), ограниченной линией I ; *b* — сечение поверхности S плоскостью yz ; *c* — область в виде диска радиуса R и толщины h_m , которую занимает дислокация Сомigliаны ограниченных размеров.

Рис. 4. Объемный очаг однородной сдвиговой деформации (в форме квадратной пластиинки со сторонами d и толщиной h) (*a*) и его дислокационно-дисклинационная модель — макроперегиб (*b*).

1 — скользящие дислокационные петли, 2 — клиновые дисклинационные петли, 3 — специальные прямоугольные дислокации Сомigliаны.

зывается при этом выделенной в материале, так как из-за наличия флюкутаций создает упругие поля и обладает избыточной энергией.

Рассматриваемая дислокация Сомigliаны также моделируется системой из дислокаций Вольтерра с вектором Бюргерса $\langle \mathbf{b} \rangle$, расположенной на границе L поверхности S , и ансамбля малых дислокационных петель с векторами Бюргерса $\beta(\mathbf{r})$ и контурами, лежащими на S [20, 21]. Если пренебречь флюкутациями $\beta(\mathbf{r})$, то в первом приближении можно считать, что дефекты, ответственные за пластичность аморфных полимеров, являются частичными дислокациями Вольтерра со среднестатистическими векторами Бюргерса. На основе такого упрощенного подхода в работе [22] была разработана количественная модель первой стадии пластической деформации полимеров. Считалось, что пластичность начинается с процесса гомогенного зарождения очагов деформационных перегруппировок цепей, эквивалентного образованию и расширению скользящих дислокационных петель. Вектор Бюргерса $\langle \mathbf{b} \rangle$ был подгоночным параметром теории.

В работах [23, 24] показано, что модель [22] хорошо описывает экспериментальные зависимости $\tau^*(T, \dot{\gamma})$ для большой группы линейных полимеров (при

температура $T > 170$ К и $\dot{\gamma} = 10^{-5} \div 10$ с⁻¹). Однако в области низких температур ($T < 170$ К) теоретические кривые начинают существенно отклоняться от экспериментальных данных [25, 26]. Поэтому следует ожидать, что приближенная модель [22] недостаточна и для расчета предела текучести при высокоскоростном деформировании.

При более строгом подходе необходимо учитывать, что поверхность скольжения в аморфном материале не является плоской. Локальная нормаль $n(\mathbf{r})$ к S флюктуирует вокруг среднего направления $\langle n \rangle$, представляющего собой нормаль к плоскости xy действия максимального внешнего касательного напряжения τ (рис. 3, a). Флюктуации $n(\mathbf{r})$ отражают наличие складок на S , возникающих при обходе поверхностью нерегулярно расположенных макромолекул, лежащих на ее пути. В результате дислокация Сомилианы конечных размеров с подобной волнистой поверхностью будет занимать область в виде диска толщиной h_m (рис. 3, б, в). Основной интегральной характеристикой такого дефекта, определяющей, в частности, его взаимодействие с полем внешних напряжений, является дислокационный момент [27]

$$M_{(zz)} = \frac{1}{2} \int_S [b_x(\mathbf{r}) n_z(\mathbf{r}) + b_z(\mathbf{r}) n_x(\mathbf{r})] dS. \quad (1)$$

В зависимости от ориентации осей макромолекул по отношению к $\langle b \rangle$ и $\langle n \rangle$ их локальные деформационные перегруппировки происходят либо с помощью проскальзывания соседних цепей вдоль или поперек осей, либо за счет пластического конформационного изгиба гибкоцепных молекул [22, 24]. Эти перегруппировки приводят к взаимному пластическому сдвигу объемов материала выше и ниже S . В соответствии с рельефом поверхности S локальные сдвиги в различных точках располагаются на разной высоте z (рис. 3, б) и оказываются распределенными в слое толщиной h_m .

Такая делокализация микросдвига, характерная для аморфного полимера, не описывается моделью плоской дислокационной петли [22], но может быть в первом приближении учтена следующим образом. Анализ показывает, что простейшим континуальным аналогом зоны распределенного микросдвига (рис. 3, в) является дискообразная область толщиной $h \approx h_m/2$, внутри которой материал подвергнут однородной сдвиговой пластической деформации $\gamma = b/h$ (в приближении $\gamma \ll 1$). Параметр b задается формулой $b = 2M_{(zz)}/S_z$, где S_z — площадь проекции S на плоскость xy . В континуальной модели учитывается делокализация микросдвига, связанная как с рельефом S , так и с действием на части поверхности скольжения механизма пластического изгиба цепей [25, 26]. Поля напряжений (кроме быстроспадающей флюктуационной компоненты) и упругую энергию W введенного объемного очага деформации можно рассчитать с помощью модели макроперегиба, предложенной в теории сбросообразования [25, 26, 28].

Макроперегиб, моделирующий очаг в форме квадратной пластинки (рис. 4, a), состоит из петель клиновых дисклинаций с векторами Франка $\pm\gamma$, скользящих дислокационных петель мощностью $B = \gamma d/2$ и прямоугольных специальных дислокаций Сомилианы с плоской поверхностью и характеристическими векторами \mathbf{T}_s и $\text{grad } U(|\mathbf{T}_s| = 1, |\text{grad } U| = \gamma)$ (рис. 4, б). Общее выражение для упругой энергии макроперегиба найдено в [28]. Энергию W очага в виде диска, являющегося энергетически наиболее выгодным, можно получить, корректируя результаты [28] с учетом эффекта формы [25]

$$W = \frac{Gb^2h}{16\sqrt{\pi}(1-\nu)} f\left(\frac{R}{h}\right), \quad (2)$$

где G , ν — модуль сдвига и коэффициент Пуассона полимера; R , h — радиус и толщина диска; f — функция, описываемая формулой ($p = \sqrt{\pi}R/h$)

$$f\left(\frac{R}{h}\right) = (2 - \nu) p \ln \frac{\sqrt{1 + p^2} (p + \sqrt{1 + p^2})}{(p + \sqrt{1 + 2p^2})} + \frac{1}{3} (1 - \sqrt{2}) \nu p^3 + \nu p^3 \ln \frac{\sqrt{1 + p^2} (1 + \sqrt{2})}{(p + \sqrt{1 + 2p^2})} +$$

$$+ 2(1-\nu)p^2 \operatorname{arctg} \left(\frac{1}{\sqrt{1+2p^2}} \right) + \frac{1}{3}(3-\nu) + \frac{1}{3}\sqrt{1+2p^2}(p^2+3-\nu) -$$

$$- \frac{1}{3}\sqrt{1+p^2}[\nu p^2 + 2(3-\nu)].$$

Из (2) следует, что модель макроперегиба позволяет не вводить в теорию радиус ядра дефектов, появляющийся при упрощенном подходе [22] как подгоночный параметр, выбираемый из феноменологических соображений. Вместо радиуса ядра в выражение для энергии входит эффективная толщина h зоны микросдвига, которую можно рассчитать по геометрическим характеристикам молекулярной структуры полимера. При минимальном отклонении S от плоской поверхности $h \approx (a+l)/3$ (a — диаметр эффективного поперечного сечения макромолекулы; l — среднее расстояние между соседними «шарнирами» в цепи, обеспечивающими ее конформационный изгиб).

Предложенная модель позволяет вычислить предел текучести τ^* в широком диапазоне скоростей деформирования. Следуя [22], будем считать, что τ^* определяется процессом зарождения областей микросдвига. Изменение $\Delta\Phi$ термодинамического потенциала полимерной системы при образовании области радиуса R имеет вид

$$\Delta\Phi = \frac{Gb^2h}{4\sqrt{\pi}(1-\nu)} f\left(\frac{R}{h}\right) + \Gamma\pi R^2 - \tau b\pi R^2, \quad (3)$$

где Γ — избыточная энергия единицы площади поверхности скольжения S . Развитие процесса идет путем увеличения радиуса R области при постоянной ее толщине. Критическое значение R^* , соответствующее активированному состоянию системы на вершине барьера, определяется из уравнения $\partial\Delta\Phi/\partial R=0$. Подстановка R^* в (3) позволяет найти высоту потенциального барьера зарождения $\Delta\Phi^*=\Delta\Phi(R^*)$. Связь между напряжением τ , приложенным к полимеру, и скоростью $\dot{\gamma}$ изменения его макроскопической деформации задается соотношением [24]

$$\dot{\gamma} = \dot{\gamma}_0 \exp[-\Delta\Phi^*(\tau)/kT], \quad (4)$$

вытекающим из теории абсолютных скоростей реакций [28] (k — постоянная Больцмана, $\dot{\gamma}_0$ — предэкспонента [24]). Выполняя необходимые вычисления, из (3) и (4) получаем искомую систему уравнений для расчета предела текучести $\tau^*(\dot{\gamma})$ полимера

$$\tau^* = \frac{\Gamma}{b} + \frac{Gb}{8(\sqrt{\pi})^3(1-\nu)R^*} \frac{\partial f(R^*/h)}{\partial(R^*/h)}, \quad (5)$$

$$2f\left(\frac{R^*}{h}\right) - \frac{R^*}{h} \frac{\partial f(R^*/h)}{\partial(R^*/h)} = \frac{8\sqrt{\pi}(1-\nu)kT \ln(\dot{\gamma}_0/\dot{\gamma})}{Gb^2h}. \quad (6)$$

В заключение теоретического анализа отметим, что в рамках дислокационного подхода существует и другая точка зрения на природу предела текучести аморфных полимеров. В [20, 21] предполагается, что τ^* определяется процессом распространения фронта L дислокации Сомилианы через молекулярные препятствия, а не зарождением дефектов. Однако в работах [20, 21] формулы для расчета τ^* получены не были.

3. Сопоставление теории с экспериментом

Вычисление теоретического предела текучести проводилось по формулам (5)–(6) как для аморфных ПММА, ПС и ПК, так и для частично-кристаллических ПЭВП, ПА-6 и ПТФЭ. Для второго типа полимеров возможность такого подхода обосновывается тем, что зарождение областей микросдвига наиболее вероятно в аморфных прослойках, обладающихшей упругой податливостью, чем кристаллы. Вкладом первого слагаемого в (5) пренебрегли исходя из данных работы [20]. Численные значения молекулярных параметров a , l и $h=(a+l)/3$, используемые при вычислениях, приведены в таблице. Для пред-

экспоненты $\dot{\gamma}_0$ применялась оценка $\dot{\gamma}_0 = 10^{10} \text{ с}^{-1}$, выведенная на основе результатов [24, 30].

У полимеров модуль сдвига G имеет существенно релаксационный характер и сильно зависит от температуры и времени воздействия на материал. Согласно [24, 30], при расчете τ^* необходимо выбирать строго определенное значение $G(t)$ релаксационного модуля, соответствующее времени $t = \omega_0^{-1} \exp(\Delta\Phi^*/kT)$ зарождения области микросдвига критического размера ($\omega_0 \approx 5 \cdot 10^{11} \text{ с}^{-1}$ — частота коррелированных тепловых колебаний цепей в зародыше). Поэтому в формуле (5)–(6) мы подставляли динамический модуль сдвига $G'(\omega)$ полимеров, измеренный экспериментально на эквивалентной частоте $\omega = 1/t$. В случае $\dot{\gamma} \sim 10^3 \text{ с}^{-1}$ необходимые значения ω оказались в области ультразвуковых частот 10^6 – 10^8 Гц. Данные о модулях $G'(\omega)$ (см. таблицу) взяты из работ [31–33].

Теоретический расчет эффективного пластического смещения b , дающий достаточную для прогнозирования $\tau^*(\dot{\gamma})$ степень точности, встречает значительные трудности, так как требует вычисления дислокационного момента $M_{(xx)}$ с учетом статистических распределений $b(r)$ и $n(r)$. Поэтому в работе использовались значения b (см. таблицу), найденные из сопоставления теории с экспериментом в случае статического нагружения при $\dot{\gamma} \sim 10^{-1} \text{ с}^{-1}$ (даные о τ^* и $G'(\omega=1 \text{ Гц})$ взяты из литературы). Подчеркнем, что «экспериментальные» величины b удовлетворительно согласуются с корреляционной формулой $b_c = 2(a+2c)/3\pi$, предложенной в [24] (c — среднее расстояние между соседними минимумами потенциала межцепных взаимодействий, описывающего энергетику продольного смещения макромолекулы в полимере). Этот факт подтверждает существование закономерной связи параметра b с геометрическими характеристиками молекулярной структуры.

Результаты расчета предела текучести при скорости деформации $\dot{\gamma} \sim 10^3 \text{ с}^{-1}$, выполненного в соответствии с заданными выше параметрами модели ($\nu = 0.33$), приведены в таблице. Сравнение с данными опытов показывает, что теория удовлетворительно согласуется с экспериментом — расхождение между ними не превышает 20 % (за исключением ПС, экспериментальное значение τ^* которого занижено; см. раздел 1). Для предельно высоких скоростей деформирования ($\dot{\gamma} \rightarrow \infty$) теория предсказывает величину предела текучести, равную $\tau_\infty^* = 0.232 Gb/h$. Как видно из таблицы, для исследованных полимеров τ_∞^* близки и хорошо согласуются с теоретическим пределом прочности на сдвиг $\tau_\infty = (G/2\pi) - (G/\pi\sqrt{3})$.

Таким образом, сопротивление деформированию твердых полимеров зависит главным образом от геометрических параметров их молекулярной структуры (межцепного расстояния a и минимальных трансляций l и с вдоль макромолекулы) и от макроскопической характеристики межмолекулярного взаимодействия — релаксационного модуля сдвига. Увеличение предела текучести при переходе к динамическому нагружению объясняется не только ростом $\dot{\gamma}$ в уравнении (6), но и существенным возрастанием модуля сдвига в этих условиях.

Авторы выражают благодарность А. Б. Синани за участие в обсуждении данной работы и высказанные ценные замечания.

Литература

- [1] Ударные волны и явления высокоскоростной деформации металлов / Под ред. М. А. Майерса и Л. Е. Мурра. М.: Металлургия, 1984. 512 с.
- [2] Clifton R. J. Trans. ASME: J. Appl. Mech., 1983, v. 50, N 4b, p. 941–952.
- [3] Макаров П. В. ФГВ, 1987, т. 23, № 1, с. 22–28.
- [4] Кокошицели С. М. Методы динамических испытаний жестких полимерных материалов. Рига: Зиннатне, 1978. 182 с.
- [5] Briscoe B. J., Nosker R. N. Wear, 1984, v. 95, p. 241–262.
- [6] Steer P., Rietsch F., Lataillade J.-L. et al. J. de Physique, 1985, v. 46, N 8, p. 415–423.
- [7] Gupta Y. M. Polym. Eng. and Sci., 1984, v. 24, N 11, p. 851–861.
- [8] Gupta Y. M. J. Appl. Phys., 1980, v. 51, N 10, p. 5352–5361.
- [9] Chartagnac P. F. J. Appl. Phys., 1982, v. 53, N 2, p. 948–953.
- [10] Батьков Ю. В., Новиков С. А., Чернов А. В. ФГВ, 1986, т. 22, № 2, с. 114–120.
- [11] Bloomquist D. D., Sheffield S. A. Shock waves condens. matter. Con. Menlo Park. Calif., New York, 1982, p. 304–308.

- [12] Rosenberg Z., Parton Y. J. Appl. Phys., 1984, v. 56, N 7, p. 1921—1926.
- [13] Златин Н. А., Пугачев Г. С., Беллендир Э. Н., Зильбербранд Е. Л. ЖТФ, 1984, т. 54, № 4, с. 797—802.
- [14] Bell J. F. In: Mechanical behaviour of materials under dynamic loads. Berlin: Springer-Verlag, Symp. San. Antonio, 1968, p. 10—20.
- [15] Кольский Г. Волны напряжений в твердых телах. М.: ИЛ, 1955. 192 с.
- [16] Зельдович Я. Б., Райзер Ю. П. Физика ударных волн и высокотемпературных гидродинамических явлений. М.: Наука, 1966. 632 с.
- [17] Беллендир Э. Н., Златин Н. А., Пугачев Г. С. и др. ЖТФ, 1987, т. 57, в. 4, с. 735—739.
- [18] Li J. C. M. In: Metallic glasses. Metals Park (Ohio): Am. Soc. Met. Publ., 1978, p. 224.
- [19] Гильман Дж. Дж. В кн.: Физика прочности и пластичности. М.: Металлургия, 1972, с. 7—31.
- [20] Escraig B. Polym. Eng. and Sci., 1984, v. 24, N 10, p. 737—749.
- [21] Escraig B. In: Dislocations in solids. University of Tokyo Press: Proc. Yamada Conf. IX, 1985, p. 559—562.
- [22] Bowden P. B., Raha S. Philos. Magaz., 1974, v. 29, N 1, p. 149—167.
- [23] Синани А. Б. Автореф. канд. дис. Л., ЛПИ им. М. И. Калинина, 1979. 24 с.
- [24] Синани А. Б., Степанов В. А. МКМ, 1981, № 1, с. 109—115.
- [25] Владимиров В. И., Перцев Н. А. Препринт № 752 ФТИ им. А. Ф. Иоффе АН СССР. Л., 1982. 40 с.
- [26] Перцев Н. А. Автореф. канд. дис. Л., ЛПИ им. М. И. Калинина, 1982. 16 с.
- [27] Владимиров В. И., Перцев Н. А. ФТТ, 1986, т. 28, № 7, с. 1976—1981.
- [28] Владимиров В. И., Перцев Н. А. Механика композитных материалов, 1984, № 4, с. 598—605.
- [29] Krausz A. S., Eyring H. Deformation kinetics. New York: Wiley, 1975. 398 p.
- [30] Escraig B., Lefebvre J. M. Rev. de Phys. Appl., 1978, v. 13, N 6, p. 285—292.
- [31] Asay J. R., Guenther A. H. J. Appl. Polym. Sci., 1967, v. 11, N 7, p. 1087—1100.
- [32] Hartmann B., Jarzynski J. J. Acoust. Soc. Amer., 1974, v. 56, N. 5, p. 1469—1477.
- [33] Lagakos N., Jarzynski J., Cole J. H., Bucarl J. A. J. Appl. Phys., 1986, v. 59, N 12, p. 4017—4031.

Физико-технический институт
им. А. Ф. Иоффе
АН СССР
Ленинград

Поступило в Редакцию
11 мая 1987 г.